

ACTA UNIVERSITATIS SZEGEDIENSIS DE ATTILA JÓZSEF NOMINATAE
ACTA IUVENUM
SECTIO SCIENTIAE NATURALIS, SERIES NOVA, TOMUS I.
SZEGED, HUNGARIA, 1987

TERJEDŐ PERTURBÁCIÓK VIZSGÁLATA A PAKSI ATOMREAKTOROKON VÉGZETT
MÉRÉSEK ALAPJÁN
GINGL ZOLTÁN

BEVEZETÉS

A világ megnövekedett energiaigényét a hagyományos energiaforrások egyre kevésbé képesek kielégíteni, így növekszik a jelentősége az újabb energiatermelési módoknak, köztük az atomenergia felhasználásának is. Az atomerőművek biztonságos üzemeltetése rendkívül fontos, ezért pontosan ismernünk kell a reaktorban zajló folyamatokat, szabályozásukat tökéletesítenünk kell.

A reaktorokban lejátszódó folyamatokat zajdiagnosztikai módszerekkel vizsgálhatjuk [1-3], így a működés zavarása nélkül, épp a működésből természetesen származó zajokból nyerhetünk információt a rendszerről. A módszer alkalmazhatóságát nagymértékben segíti a gyors számítógépes kiértékelés lehetősége is.

A dolgozatban egy, a gyakorlatban már használt zajdiagnosztikai modellt [4] fejlesztünk tovább, és a paksi reaktorokon végzett mérések segítségével indokoljuk a pontosítás szükségességét.

A ZAJDIAGNOSZTIKAI MENNYISÉGEK DEFINÍCIÓJA

A következőkben definiáljuk a számunkra fontos zajdiagnosztikai mennyiségeket.

Legyenek $x(t)$ és $y(t)$ zajokat időben leíró függvények, például egy detektor áramerősség vagy feszültség amplitúdói. Az $x(t)$ jelre vonatkozó autokorreláció-függvényt a következőképp definiáljuk [1,2]:

$$(1) \quad R_{xx}(\tau) = \lim_{T \rightarrow \infty} \frac{1}{2T} \int_{-T}^T x(t)x(t+\tau)dt.$$

A függvény a jel időbeli belső összefüggéseit jellemzi. Két zaj esetén értelmezhetjük a két folyamat kapcsolatát jellemző keresztkorrelációt [1,2]:

$$(2) \quad R_{xx}(\tau) = \lim_{T \rightarrow \infty} \frac{1}{2T} \int_{-T}^T x(t)x(t+\tau)dt.$$

Sztochasztikusan független zajok esetén a keresztkorreláció azonosan zérus.

Sok esetben célszerűbb a folyamatokat frekvenciatérben vizsgálni, az áttérést Fourier-transzformációval hajthatjuk végre. A korrelációfüggvények Fourier-transzformáltjait teljesítménysűrűség-spektrumoknak nevezzük.

Igy az autospektrum definíciója [1,2]:

$$(3) \quad \text{APSD}_{xx}(i\omega) = \int_{-\infty}^{\infty} R_{xx}(t) \exp(-i\omega t) dt,$$

a kereszt Spektrumé:

$$(4) \quad \text{CPSD}_{xy}(i\omega) = \int_{-\infty}^{\infty} R_{xy}(t) \exp(-i\omega t) dt.$$

A teljesítménysűrűség-spektrumokat a korrelációfüggvények nélkül is előállíthatjuk. Definiáljuk egy jel amplitúdóspektrumát a következőképp:

$$(5) \quad X(i\omega) = \lim_{T \rightarrow \infty} \frac{1}{2T} \int_{-T}^T x(t) \exp(-i\omega t) dt.$$

A Wiener-Hincsin tétel alapján:

$$(6) \quad \text{APSD}_{xx}(i\omega) = X(i\omega)X^*(i\omega),$$

$$(7) \quad \text{CPSD}_{xy}(i\omega) = X(i\omega)Y^*(i\omega),$$

ahol a * a komplex konjugáltat jelöli. Látszik, hogy az autospektrum valós mennyiség, a kereszt Spektrum pedig általában komplex, fázisinformációt is hordoz.

Az (1-7) definíciókból látható, hogy a mennyiségek pontos megadásához a jeleket a $(-\infty, \infty)$ időintervallumban kellene ismer-nünk, ezért az amplitúdóspektrum egy becslését adjuk meg, ezáltal definiálva a többi mennyiséget is [3]:

$$(8) \quad X(i\omega) = \frac{\sum_{j=1}^N \int_{-T}^T x_j(t) \exp(-i\omega t) dt}{\sum_{j=1}^N \int_{-T}^T dt}$$

ahol N jelenti azt a számot, hogy hányszor mértük meg a jelet $2T$ hosszú időintervallumban. Itt kihasználtuk azt a feltevést, hogy a folyamat stacionárius és ergodik.

MODELL A MÉRÉSEK ÉRTELMEZÉSÉHEZ

Kiinduló pontként tekintsünk egy reaktort, amelyben a hasadási folyamatok zajlanak. A moderátor szerepét az áramló hűtőközeg tölti be. A gyorsan áramló hűtőközegben keletkezett perturbációkat az általuk kiváltott neutronfluxus-változások útján figyelhetjük meg. A vizsgálatból hasznos információk nyerhetők a rendszer állapotára vonatkozóan, a hűtőközeg sebességét is megbecsülhetjük a mérési eredményekből. A továbbiakban egy modellt ismertetünk, amelynek segítségével kiszámítjuk a zajdiagnosztikai mennyiségeket.

Tegyük fel, hogy a neutronfluxust két, axiálisan egymás fölé helyezett detektorral mérjük a hengerszimmetrikus aktív zónában. A z irányt a detektorok tengelye mentén vesszük fel. Az F neutronfluxus a valóságban a hely és idő függvénye, a számítások elvégzése során azonban eltekintünk a zóna tényleges geometriájától, a hőmérséklet-inhomogenitástól és egyéb külső zavarokból származó változásoktól. A fluxust csak a z magasság és az idő függvényének tekintjük:

$$(9) \quad F = F(z, t),$$

a fluxust a zónán kívül zérusnak feltételezzük.

Tegyük fel, hogy a reaktorban a $k(z, t)$ függvénnyel jellemezhető buborékkoncentráció alakul ki. A buborékok elképzelésünk szerint egyenletes v sebességgel haladnak z irányban felfelé, így fennáll a következő összefüggés:

$$(10) \quad k(z, t) = k_0(t - z/v),$$

ahol $k_0(t)$ a zóna alján belépő buborékkoncentrációt írja le. A

buborékok jelenléte megváltoztatja a moderátor sűrűségét, ami a neutronfluxus megváltozását eredményezi.

A fluxusváltozásokat (dF) két tagra bonthatjuk [4], egy globális és egy lokális összetevőre. A globális fluxusváltozás csak az idő függvénye. Ilyen típusú például a buborékok jelenléte miatti egész zónán belüli fluxusváltozás, de az abszorbensrudak mozgatása is ilyen változást okoz.

Vizsgáljuk meg, milyen globális változásokat okoznak a zónába jutott gázbuborékok! A moderátor koncentrációváltozása az $r(t)$ reaktivitás megváltozásához vezet. Lineáris rendszernek tekintve a reaktort, a fluxus megváltozása és a reaktivitás megváltozása között a következő kapcsolat áll fenn [3]:

$$(11) \quad dF_{gl}(t) = g(t) * dr(t),$$

ahol $g(t)$ a rendszer átviteli függvénye, a $*$ pedig konvolúciót jelöl.

Számítsuk ki a zónán áthaladó buborékok által kiváltott globális fluxusváltozás-összetevőt! Ezt az elemi változások zónára vett összegzésével tehetjük meg:

$$(12) \quad dF_{gl}^0(t) = \int_0^H S \cdot k_0(t - z/v) dz,$$

ahol H a zóna magassága, S pedig arányossági tényező.

A detektorok segítségével észlelhetjük a lokális típusú fluxusváltozás összetevőt. Ha a detektortól nagy távolságra buborék halad el, akkor a detektorunk az egész zónában jelentkező globális fluxusváltozást jelzi, de a buborék helyi hatását nem észleljük, mivel a keltett zavarok a neutronok és többi részecskék kölcsönhatásai folytán a távolság függvényében kiátlagolódnak. Más a helyzet, ha a buborék közvetlenül a detektor mellett halad el; ilyenkor a detektor érzékeli a jelenlevő buborék közvetlen hatását. Az ilyen típusú fluxusváltozásokat nevezzük lokális változásoknak.

Lineáris közelítésben a lokális változás arányosnak tekinthető a jelenlevő buborékkoncentrációval [4]:

$$(13) \quad dF_{lok}(z, t) = c \cdot k(z, t),$$

azaz

$$(14) \quad dF_{Lok}^0(t-z/v) = c \cdot k_0(t-z/v).$$

Jelöljük $dF_{gl}(t)$ -vel a zónában levő globális fluxusváltozások eredőjét! Az eddigiek szerint $dF_{gl}(t)$ két komponensből áll: a buborékok által kiváltott $dF_{gl}^0(t)$ -vel jellemzett tagból és a buborékoktól független zajforrások okozta $dF(t)$ -vel leírható megváltozásokból, azaz:

$$(15) \quad dF_{gl}(t) = dF_{gl}^0(t) + dF(t).$$

A detektorok zajának vizsgálatára a korrelációfüggvényeket illetve a teljesítménysűrűség-spektrumokat használjuk. A számítások elvégzése során figyelembe vesszük, hogy a detektorok véges hosszúságúak (kb. 0,2 m), de átmérőjükkel nem számolunk, mivel ez nem befolyásolja a végeredményt, ugyanis feltevésünk szerint a neutronfluxus csak a z irány függvénye.

Feltételezve, hogy a detektor jele arányos a detektor helyén, illetve közvetlen környezetében kialakult neutronfluxussal, a d hosszúságú detektor jelét a detektor hosszára vett összegzéssel kaphatjuk meg:

$$(16) \quad x(t) = \int_{z_x-d/2}^{z_x+d/2} [dF_{gl}(t) + dF_{Lok}(z,t)] dz,$$

ahol z_x a detektor középmagassága a zóna aljához viszonyítva.

A továbbiakban kiszámítjuk a jelek amplitúdóspektrumát; erre az argumentumban szereplő $i\omega$ -val utalunk. Az $x(t)$ jel amplitúdóspektruma tehát így írható:

$$(17) \quad X(i\omega) = \int_{z_x-d/2}^{z_x+d/2} [dF_{gl}(i\omega) + dF_{Lok}(z,i\omega)] dz.$$

Felhasználva a (13) és (15) összefüggéseket $X(i\omega)$ -ra kapjuk:

$$(18) \quad X(i\omega) = \int_{z_x-d/2}^{z_x+d/2} [dF_{gl}(i\omega) + G \int_0^H dF_{Lok}^0(i\omega) \exp(-i\omega z/v) dz + dF_{Lok}^0(i\omega) \exp(-i\omega z/v)] dz,$$

azaz

$$(19) \quad H(i\omega) = d \cdot dF(i\omega) + d \cdot dF_{lok}^0(i\omega) \cdot G \cdot H \cdot \exp(-ib) \frac{\sin(b)}{b} + \\ + d \cdot dF_{lok}^0(i\omega) \exp(-i\omega Z_x / v) \frac{\sin(a)}{a},$$

ahol $G = S/c$, $a = \pi d / 2v$ és $b = \pi H / 2v$.

Használjuk fel most az előzőekben definiált keresztsspektrumot két detektor zajának vizsgálatához. $X(i\omega)$ -val, illetve $Y(i\omega)$ -val jelöljük a két, axiálisan egymás fölé helyezett detektor amplitúdó-spektrumait. A detektorok középmagassága a zóna aljához viszonyítva Z_x illetve Z_y , hosszúságuk d . A keresztsspektrum felírásánál a $dF^*(i\omega)dF_{lok}^0(i\omega)$ alakú szorzatokat elhagyjuk, mivel feltételezzük, hogy a globális fluxusváltozás nem buborékoktól származó része sztochasztikusan független a lokális megváltozásoktól, így keresztkorreláció-függvényük azonosan zérus. A keresztsspektrum ezért így írható az eddig használt jelölésekkel:

$$(20) \quad CPSD(i\omega) = d^2 \cdot dF(i\omega) \cdot dF^*(i\omega) + \\ + d^2 \cdot dF_{lok}^0(i\omega) dF_{lok}^0(i\omega) \cdot G^2 \cdot H^2 \cdot \frac{\sin^2(b)}{b^2} + \\ + d^2 \cdot dF_{lok}^0(i\omega) dF_{lok}^0(i\omega) \cdot \exp(i\omega(Z_y - Z_x) / v) \cdot \frac{\sin^2(a)}{a^2} + \\ + d^2 \cdot dF_{lok}^0(i\omega) dF_{lok}^0(i\omega) \cdot G \cdot H \exp(i\omega Z_y / v - ib) \times \\ \times \frac{\sin(a) \cdot \sin(b)}{a \cdot b} + d^2 \cdot dF_{lok}^0(i\omega) dF_{lok}^0(i\omega) \cdot G \cdot H \times \\ \times \exp(ib - i\omega Z_x / v) \cdot \frac{\sin(a) \cdot \sin(b)}{a \cdot b}.$$

A továbbiakban ennek a komplex mennyiségnek a fázisát vizsgáljuk a frekvencia függvényében - tehát az korfrekvenciáról az $f = \omega / 2\pi$ frekvenciára térünk át. A fázis a frekvencia függvényében így adható meg:

$$(21) \quad p(f) = \arctg \frac{IM(CPSD)}{RE(CPSD)},$$

ahol $IM(CPSD)$ a keresztsspektrum képzetes része, $RE(CPSD)$ pedig a valós részt jelöli. A számítások elvégzése után:

$$(22) \quad p(f) = \arctg \frac{\sin(Qf) \cdot SD^2(f) + G \cdot H \cdot S(f) \cdot SD(f) \cdot SH(f)}{\cos(Qf) SD^2(f) + G \cdot H \cdot C(f) \cdot SD(f) \cdot SH(f) + G^2 \cdot H^2 \cdot SH^2(f) + K(f)}$$

Itt bevezettük az alábbi jelöléseket:

$$Q = 2\pi(Z_y - Z_x) / v;$$

$$S(f) = \sin(f \cdot \pi \cdot (2Z_y - H) / v) + \sin(f \cdot \pi \cdot (H - 2Z_x) / v);$$

$$C(f) = \cos(f \cdot \pi \cdot (2Z_y - H) / v) + \cos(f \cdot \pi \cdot (H - 2Z_x) / v);$$

$$SD(f) = \frac{\sin(\pi \cdot d \cdot f / v)}{\pi \cdot d \cdot f / v}; \quad SH(f) = \frac{\sin(\pi \cdot H \cdot f / v)}{\pi \cdot H \cdot f / v};$$

$$K(f) = \frac{dF_{Lok}(if) dF_{Lok}^*(if)}{dF_{Lok}(if) dF_{Lok}^*(if)}.$$

Látható, hogy ez utóbbi $K(f)$ függvény a buborékoktól független zajforrásoktól származó globális fluxusváltozások autospektrumának és a lokális fluxusváltozások autospektrumának a hányadosa. A függvény alakját mérésekből lehet közelítőleg megadni, mi azonban konstansnak választjuk; ez nem módosítja lényegesen az eredményt. Így elkerüljük a túl sok határozatlan paraméter illesztését, ami könnyen vezetne hibás eredményre.

A PAKSI MÉRÉSEK ÉRTELMEZÉSE

A (22) formula lényegében két ismeretlen paramétert tartalmaz. A G paraméter fizikai jelentése: a buborékoktól származó globális fluxusváltozások relatív erőssége; a K paraméteré pedig: a buborékoktól független zajforrások zajának erőssége a buborékok zajához viszonyítva. Feladatunk az, hogy meghatározzuk ezen paraméterek értékeit a mérésből kapott görbére való illesztéssel.

A mühlebergi forralóvízes atomerőműben zónán belüli detektorok között lineáris fázist mértek 0-13 Hz tartományban (Behringer, 1972). A fenomenologikus magyarázatot a globális-lokális fluxusváltozások feltételezésével adták meg [4-6], és az eredményeket a közvetlenül nehezen mérhető hűtőközegsebesség meghatározására használják.

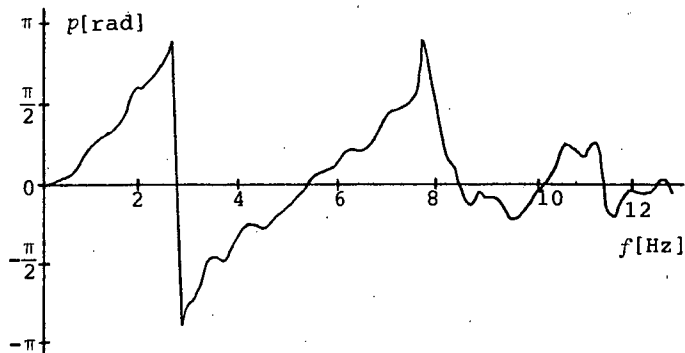
Há modellünkben speciálisan $d=0$, $G=0$, $K=0$ -t választunk, akkor ez azt jelenti, hogy pontszerűnek tekintjük a detektorokat, és nem vesszük figyelembe a globális fluxusváltozásokat. Ekkor lineáris fázist kapunk.

Az 1. a. ábrán láthatunk egy, a Paksi Atomerőműben végzett

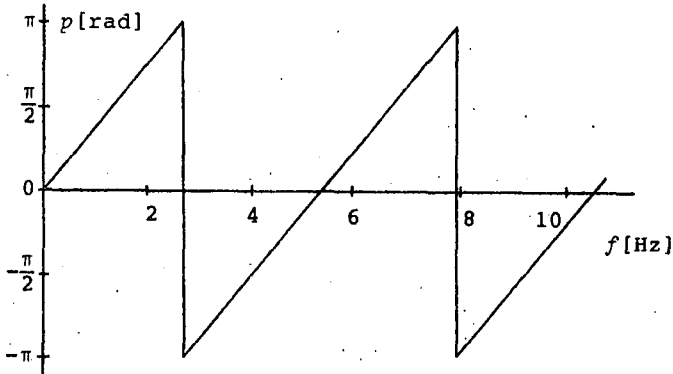
mérésből kapott fázisgörbét, az 1. b. ábrán pedig az említett paraméterértékekkel számított görbét. A méréseket a Központi Fizikai Kutatóintézet munkatársai végezték; ezekből a mérésekből ismertek az egyéb adatok is (detektorok helyzete, zónamagasság: $H=2,5$ m, stb.), amelyeket a számításoknál figyelembe vettünk. Megjegyezzük, hogy az illesztést csak viszonylag alacsony frekvenciákon (kb. 0-10 Hz) érdemes elvégezni, ugyanis magasabb frekvenciákon az átviteli függvény tulajdonságai miatt az egyéb zavaró zajok dominálnak. Fontos tudnunk azt is, hogy a fázis szórása igen nagy lehet olyan frekvenciákon, ahol a kereszt-spektrum abszolút értéke kicsiny az autospektrumhoz képest.

Sokszor már kis frekvenciákon is jelentős az eltérés a fázismenettől. Ennek az az oka, hogy a detektorokat eddig pontszerűnek tekintettük ($d=0$), és nem vettük figyelembe a buborékoktól független globális fluxusváltozásokat sem ($K=0$). Ha formulánkba a valóságnak megfelelő $d=0,2$ m értéket helyettesítjük, lényegesen jobb egyezést kapunk, ami jól látható a 2. a.-b. ábrán

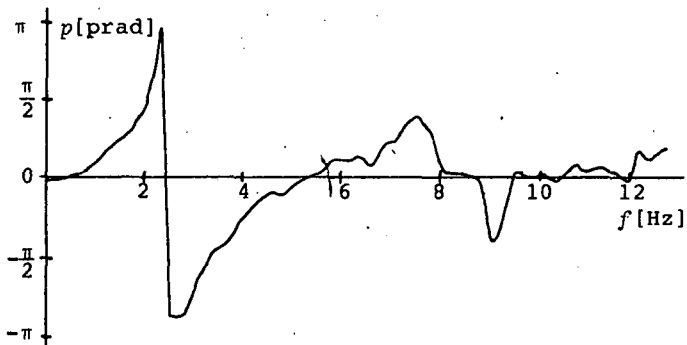
A mért adatoknak még egy sajátossága van, ami a fázisgörbe finomabb szerkezetében látható (3. a. ábra). Ezt is reprodukálhatjuk a (22) formulával, ha G -t zérustól különbözőnek választjuk, tehát ezt a jellegzetességet a modellünk szerint a buborékoktól származó globális fluxusváltozások okozzák (3. b. ábra).



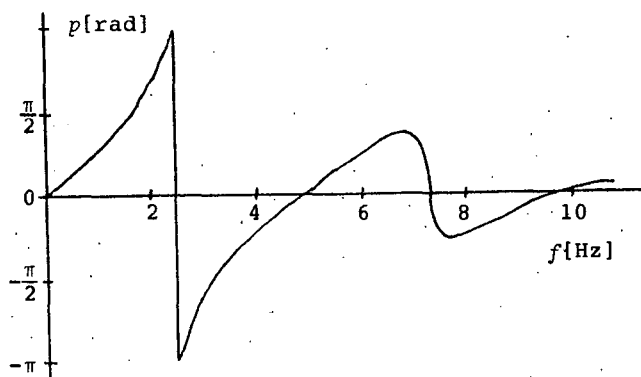
1. a. ábra. Reaktor aktív zónájában két detektor között mért fázis. A detektorok helyzete: $Z_x=0,611$ m; $Z_y=1,222$ m. A jeleket mágnesszalagra rögzítik, majd a zajdiagnosztikai mennyiségeket számítógéppel kiszámítják.



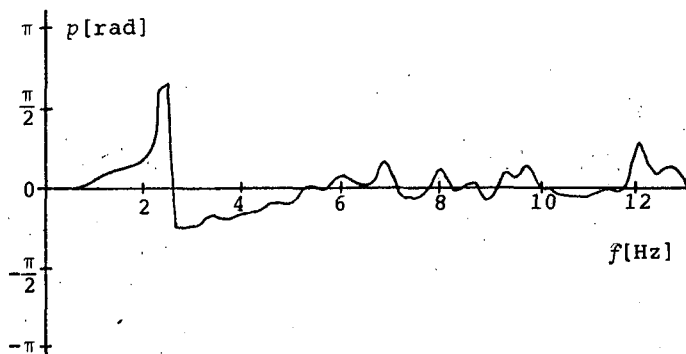
1. b. ábra. A (22) formula alapján számított fázis grafikonja ($d=0, K=0, G=0$). A meredekségből meghatározható a hűtőközeg terjedési sebessége: $v=3,21$ m/s.



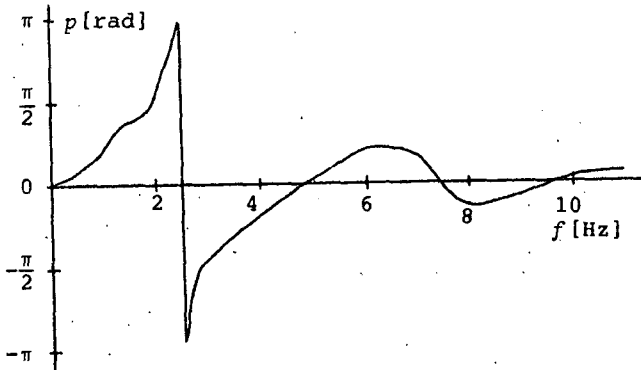
2. a. ábra. Mérésből kapott fázisgörbe. A detektorok helyzete: $Z_x=0,608$ m; $Z_y=1,220$ m. Már alacsony frekvenciákon is jelentős az eltérés a lineáristól.



2. b. *ábra.* $d=0,2$ m, $K=0,5$, $G=0$, $v=3,00$ m/s paraméterértékekkel számított fázis. A frekvencia növekedésével a fázis nullához közelít, ami annak a következménye, hogy a detektorok nem pontszerűek. Figyelembe vettük a buborékoktól független globális fluxusváltozásokat is ($K \neq 0$).



3. a. *ábra.* Mérésből kapott fázisgörbe. A detektorok helyzete: $Z_x=1,220$ m; $Z_y=1,830$ m. Jól látható a 0-2 Hz tartományban a görbe jellegzetes alakja.



3. b. ábra. $d=0,2$ m, $K=0,7$, $G=0,9$, $v=3,00$ m/s paraméterértékekkel számított fázis. Figyelembe vettük a buborékoktól származó globális fluxusváltozásokat is: $G \neq 0$. Megjegyezzük, hogy mivel a G paraméter hatása a görbe finomabb struktúrájában jelentkezik, ezért az illesztéséhez pontosabb méréseket célszerű végezni.

ÖSSZEFOGLALÁS

A dolgozatban egy modellt adtunk meg, amely képes kvalitatíve leírni a mért fázisgörbék finomabb struktúráját is, pontosabbá téve ezáltal az atomreaktorok hűtőközege terjedési sebességének meghatározását is.

A korábbi modellek továbbfejlesztéseként figyelembe vettük, hogy a neutrondetektorok nem pontszerűek, nem hanyagoltuk el a perturbációk okozta globális fluxusváltozásokat sem. Ezzel lehetővé vált, hogy becslést adjunk a terjedő perturbációktól független zajforrások zajának relatív erősségére és a perturbációk okozta globális fluxusváltozások relatív erősségére, amely információt adhat a rendszer működéséről, visszacsatoltsági állapotáról.

Bár modellünk egyszerűsítéseket is tartalmaz, azonban a jelenlegi mérések vizsgálatánál nem lett volna célszerű újabb határozatlan paramétereket elemezni, mert a paraméterek számának növelése kedvezőtlenül befolyásolhatná a modell megbízhatóságát. A modell előnye éppen az, hogy viszonylag egyszerű, mégis több hasznos információt szerezhetünk segítségével a rendszer működé-

séről.

Ezúton szeretnék köszönetet mondani nélkülözhetetlen útmutatásaikért Dr. Pór Gábornak, a Központi Fizikai Kutatóintézet tudományos főmunkatársának, és Dr. Kiss László Bélának, a József Attila Tudományegyetem Kísérleti Fizikai Intézete tanársegédjének.

IRODALOMJEGYZÉK

- [1] N. Hesselmann, *Digitális jelfeldolgozás*, Műszaki Könyvkiadó, Budapest, 1985.
- [2] W. Wehrmann, *Korrelációs technika*, Műszaki Könyvkiadó, Budapest, 1983.
- [3] G. Pór, *Atomerőművi reaktorok sajtmérésen alapuló diagnosztikája*, Kandidátusi értekezés, Budapest, 1985.
- [4] Gy. Kosály, Neutronic response to two-phase flow in a nuclear reactor, *Progress in Nuclear Energy*, 9, 1982.
- [5] D. Wach, The analysis of at-power neutron flux noise in the frequency range of vibrating reactor structures, *Annals of Nuclear Energy*, 2, 1975.
- [6] D. Wach, Gy. Kosály, Investigation of the joint effect of local and global driving sources in incore-neutron noise measurements, *Atomkernenergie*, 23, 1974.

Gingl Zoltán

V. évf. fizikus hallgató
3022 Lőrinci, Bercsényi u. 4.